

En videnskabelig analyse af den maritime tommelfingerregel for vurderingen af kollisionskurs ved betragtning af baggrundens relative bevægelse til et andet fartøj

Mikkel Metzsch Jensen
Department of Physics, University of Oslo

(Dated: May 3, 2021)

In this article we investigate the rule of thumb for recognizing when two boats are on a collision course. The proposed statement to be analyzed, namely *The background method*, can be formulated briefly as: "If the static background seen behind the oncoming boat does not visually move relatively to the boat, then you are on a collision course.". The analysis have shown that this statement is strongly related to the determination of the relative bearing. By mathematical proof we found that if and only if two boats, with constant velocity which approaches each other in distance, have constant relative bearing they are on collision course. Therefore the determination of the relative bearing is the most precise way of recognizing a collision course. On the other hand we found that the background method can be used as a means to determine whether the relative bearing is constant in special cases. This were mainly derived by an analytical approach but is also supported by numerical simulations. In general the background method is found to be valid when used in greater distances to the coast, losely estimated to approximately 833 meters or more (safe distance to use). The exact estimat builds on the velocity of the observer, the tolerance definition for a humanly recognizable angular velcoty and is dependent on the value of the relative bearning and the angle between the heading and the coast. The nature of this relationship is showcased on figure 4 and 5.

I. INTRODUKTION

Som søfarer findes der en række nødvendige og basale regler som sikrer god orden og sikkerhed til søs. Heriblandt har vi vigereglerne som regulerer færdslen på vandet og forebygger, at skibe støder sammen [2]. Disse regler beskriver som udgangspunkt, hvordan man skal agere hvis man er på kollisionskurs med andre fartøjer. Det er fordelagtigt for søfaren at blive opmærksom på en sådan kollision i så god tid som mulig, så man kan korrigere kurs eller fart.

Denne rapport udspringer af en diskussion med Lars Juel Hansen (sommeren 2019) om en forslået tommelfingerregel for netop vurderingen af kollisionskurs. Formuleringen for det vi fremadrettet skal kalde for *baggrundsmetoden* lyder som følger:

Betragt båden som du mistænker en mulig kollision med og noter et fastliggnede punkt i baggrunden som synes akkurat bag båden. Hvis dette baggrundspunkt i den efterfølgende observationsperiode lader til at flytte sig i forhold til båden, da er du ikke på kollisionskurs med båden. Forbliver baggrundspunktet derimod i sigtelinjen bag båden er dette en indikator på at kollisionskursen er reel.

Ved en undersøgelse af tilgængelige internetkilder findes forskellige gengivelser af denne regel. Ifølge Duelighed.dk [3] kan man ved "betydelige afstande" til kysten bruge observationen om hvordan kollisionsfartøjet trækker "over land" til at vurdere pejlingen (Retning fra iagttageren til den genstand, der pejles [4]). Altså hævdes det at hvis den modsejlende trækker mod styr-

bord i forhold til baggrunden så vil fartøjet gå styrbord om iagttagerens fartøj. Modsat vil det gå bagbord om iagttagerens fartøj, hvis det trækker til bagbord over land. Hvis ikke fartøjet bevæger sig kendeligt i forhold til baggrunden, vil det efter sigende, i overensstemmelse med baggrundsmetoden, indikere at fartøjerne er på kollisionskurs. Dog er det værd at bemærke at denne metode indføres som et middel til at vurdere om der er pejltræk (om pejlingen til kollisionsfartøjet ændres). I andre kilder som [5], [6] og [7], er det netop pejlingen som angives som den direkte indikator på kollisionskurs. For at afgøre om der er pejltræk, kan man se om kollisionsfartøjet bevæger sig relativ til et fastliggende punkt på eget fartøj. Vi vil fremadrettet betegne denne metode som *lokalpunktsmetoden*.

I denne rapport skal vi fremføre en matematisk analyse af baggrundsmetodens pålidelighed som indikator for kollisionskurs. Dette gøres ved først at beskrive pejlingens betydning for denne vurdering, og dernæst vurdere om der er sammenfald mellem de to metoder. Med dette udgangspunkt skal vi undersøge baggrundsmetodens præcision i forhold til at vurdere pejltræk og dermed udpege eventuelle begrænsninger.

Rapporten bestræber sig på at give en fyldestgørende beskrivelse af det omtalte problem, samtidig som at dette formidles til en målgruppe uden særlig matematisk baggrund. Dette er ikke mulig på alle punkter, da en ordenlig bevisførelse kræver en hvis mængde matematik. Jeg har dog forsøgt at gengive de underliggende resultater og vigtiste pointer undervejs, således at man kan springe beregninger og udledninger over uden at miste kontekst. Dette gælder særlig udledningen i afsnit III A.

II. METODE

A. Definering af problemet

Vi forestiller os to både til søs, som nærmer sig hinanden. Vi kalder den ene båd for hovedbåden (HB), hvor vi har placeret iagttageren, og den anden båd kalder vi for kollisionsbåden (KB). Vi antager at begge bådene bevæger sig med konstant hastighed, dvs. retlinjet og med konstant fart. Vi beskriver hver båd som et enkelt punkt i et to-dimensionalt aksesystem som tilsvarende bådens position på vandets overflade. Vi bruger aksetitelne x og y til at beskrive denne position $\vec{P} = (x, y)$. Positionen til hver båd bliver da en funktion af tid, som er bestemt af parametrene: Startposition \vec{P}_0 og hastighed \vec{v} . For de to både har vi dermed bevægelsesligningen

$$\vec{P}(t) = \vec{P}_0 + \vec{v} \cdot t \quad (1)$$

Vi definerer en kollision som tilfældet hvor bådene har samme position til samme tidspunkt. Bemærk at en kollision i praksis vil ske i flere tilfælde da vi ikke har taget hensyn til bådernes udstrækning her. Dette er dog en nødvendig antagelse, da det er iagttagers placering på HB som vil udgøre det ene punkt, lige så vel som iagttageren må vælge at pejle til et bestemt punkt på KB også.

For at vurdere om bådene er på kollisionskurs, er det angiveligt nyttigt at benytte pejlingen. Vi definerer i matematisk forstand pejlingen θ_{HB} fra HB som vinklen mellem kursen til HB og sigtelinjen fra HB til KB. Dette er illustreret på figur 1.

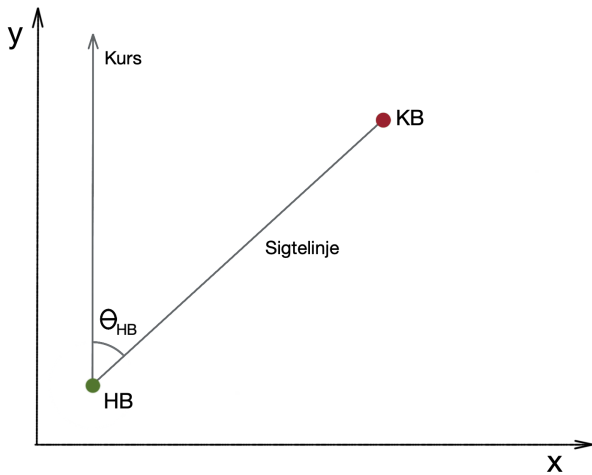


Figure 1. En illustration af pejlingen θ_{HB} som defineres som vinklen mellem kursen til HB og sigtelinjen fra HB til KB.

B. Numeriske simuleringer som støtte til matematiske resultater

I tillæg til den matematiske analyse vil vi bruge numeriske metoder (simuleringer) som støtte til resultaterne. Da alle bevægelserne er lineære kan vi simulere bådenes præcise bevægelse uden usikkerhed. Dette gøres ved at evaluere bevægelsesligning 1 ved forskellige tidspunkter. Dette er analogt til Eulers metode uden acceleration. Vi skriver simuleringsskoden i python som angivet nedenfor. Denne er også tilgængelig på github [1] sammen med diverse scripts for plotting af data.

```
import numpy as np

def simulator(MB_start, OB_start, MB_end,
             OB_end, T = 10, dt = 0.1):
    K = int(T/dt + 1)           #Steps
    MB_pos = np.zeros((K,2))    #MB = Main Boat
    OB_pos = np.zeros((K,2))    #OB = Other Boat
    t = np.zeros(K)             #Time

    #Initial position
    MB_pos[0] = MB_start
    OB_pos[0] = OB_start

    #Calculate constant velocity
    MB_vel = (MB_end - MB_pos[0])/T
    OB_vel = (OB_end - OB_pos[0])/T

    #Main update loop
    for k in range(K - 1):
        MB_pos[k+1] = MB_pos[k] + MB_vel*dt
        OB_pos[k+1] = OB_pos[k] + OB_vel*dt
        t[k+1] = t[k] + dt
    return MB_pos, OB_pos
```

III. RESULTATER

A. Pejlingens betydning for kollisionskurs (matematisk udledning)

Da vi har antaget at bådene bevæger sig med konstant hastighed, kan vi bruge en lineær transformation til at skifte koordinatsystem til intertialsystemet (dvs. det koordinatsystem som beskriver relativ bevægelse til iagttageren) hvor HB er i ro. Vi kalder dette for HB's intertialsystem. Med andre ord så kan vi frit vælge at beskrive positionen til KB som den opleves for en iagttagere ombord på HB. Positionen \vec{P}'_{KB} til KB i det nye intertialsystem kan skrives:

$$\begin{aligned} \vec{P}'_{KB}(t) &= \vec{P}_{KB}(t) - \vec{P}_{HB}(t) \\ &= \vec{P}_{0,KB} + \vec{v}_{KB}t - \vec{P}_{0,HB} - \vec{v}_{HB}t \\ &= (\vec{P}_{0,KB} - \vec{P}_{0,HB}) + (\vec{v}_{KB} - \vec{v}_{HB})t \\ &= \vec{P}'_{0,KB} + \vec{v}'_{KB}t \end{aligned}$$

Vi ser at \vec{P}'_{KB} også beskriver en retlinjet bevægelse. I tilfældet hvor bådene er på kollisionskurs ved vi at $\vec{P}'_{KB}(t_k) = \vec{0}$ ved kollisionstidspunktet t_k . Dette medfører sammenhængen:

$$\begin{aligned} \vec{P}'_{0,KB} &= -\vec{v}'_{KB}t_k \\ \begin{pmatrix} x'_{0,KB} \\ y'_{0,KB} \end{pmatrix} \frac{1}{t_k} &= - \begin{pmatrix} v'_{x,KB} \\ v'_{y,KB} \end{pmatrix} \end{aligned} \quad (2)$$

Vi kan da finde pejlingen θ_{HB} ved at omskrive \vec{P}'_{KB} til polære koordinater. Her er vi bare interesseret i vinkelkoordinat ϕ_{KB} som kan bestemmes som

$$\begin{aligned} \phi_{KB}(t) &= \arctan\left(\frac{y'(t)}{x'(t)}\right) \\ &= \arctan\left(\frac{y'_{0,KB} + v'_{y,KB}t}{x'_{0,KB} + v'_{x,KB}t}\right) \end{aligned}$$

Vi bruger da sammenhængen fra ligning 2 og finder

$$\begin{aligned} \phi_{KB}(t) &= \arctan\left(\frac{y'_{0,KB} - y'_{0,KB}\frac{t}{t_k}}{x'_{0,KB} - x'_{0,KB}\frac{t}{t_k}}\right) \\ &= \arctan\left(\frac{y'_{0,KB} \frac{1 - \frac{t}{t_k}}{1 - \frac{t}{t_k}}}{x'_{0,KB} \frac{1 - \frac{t}{t_k}}{1 - \frac{t}{t_k}}}\right) \\ &= \arctan\left(\frac{y'_{0,KB}}{x'_{0,KB}}\right) = \text{konst.} \end{aligned}$$

Fra dette ser vi at vinkelkoordinat ϕ_{KB} er konstant (uafhængig af tid), hvilket medfører at pejlingen også er konstant:

$$\theta_{HB} = \frac{\pi}{2} - \phi_{KB} = \text{konst.}$$

Fra dette ræsonement har vi altså vist at pejlingen vil være konstant i tilfældet hvor bådene er på kollisionskurs. Hvis bådene følger kollisionskursen men i modsat retning (bevæger sig væk fra hinanden), kan vi indføre betingelsen $\vec{P}'_{KB}(t_i) = \vec{0}$ for et tidspunkt $t_i < 0$. Derved kan vi opstille en ligning tilsvarende 2 og derved finde at pejlingen også vil være konstant i dette tilfælde. Hvis ikke bådene er på kollisionskurs er ligning 2 ikke længere gyldig og \vec{P}'_{KB} kan tage hvilken som helst retlinjet bane uden om $\vec{P}'_{KB} = \vec{0}$. Det betyder at ϕ_{KB} og dermed også pejlingen θ_{KB} vil ændre sig som funktion af tid. Dette fører til slutningen:

Teorem 1 Hvis og bare hvis to både med konstant hastighed som nærmer sig i afstand har konstant pejling til hinanden er disse på kollisionskurs.

B. Gengivelse af konstant-pejling-udledningen uden matematisk notation

Siden begge bådene antages at bevæge sig med konstant fart og i en ret linje vil en iagttager på HB også se

at KB bevæger sig med konstant fart og i en ret linje. I tilfældet hvor bådene er på kollisionskurs vil en iagttager på HB altså se at KB har kurs direkte mod iagttageren. Dette er den eneste mulige kurs hvorpå bådene kan kollidere uden at medparterne ændrer retning eller fart undervejs. Derfor følger det at pejlingen også vil være konstant i tilfældet med kollisionskurs. De eneste andre situationer hvor pejlingen er konstant er når bådene ligger stille, sejler parallelt eller sejler væk fra hinanden i modsat retning af kollisionskursen. For disse tre tilfælde nærmer bådene sig ikke i afstand, og det er dermed enkelt at afgøre, at der ikke er kollisionsfare.

C. Grænsebetingelser for brug af baggrundsmetoden

Med udgangspunkt i teorem 1 kan vi undersøge om brugen af baggrundsmetoden er en pålidelig indikator for en fremtidig kollision. Vi skal altså undersøge om der er sammenfald mellem en konstant pejling og tilfældet hvor baggrunden ikke bevæger sig relativt til sigtelinjen gennem KB.

I tilfældet med kollisionskurs ved vi fra teorem 1 at sigtelinjen fra HB gennem KB vil have en konstant vinkel. I det enkle tilfælde hvor kystlinjen er retlinjet og parallel med kursen til HB vil sigtelinjens skæring med kystlinjen forflytte sig med samme hastighed som HB. Dette resultat bekræftes ved simuleringen vist på figur 2.

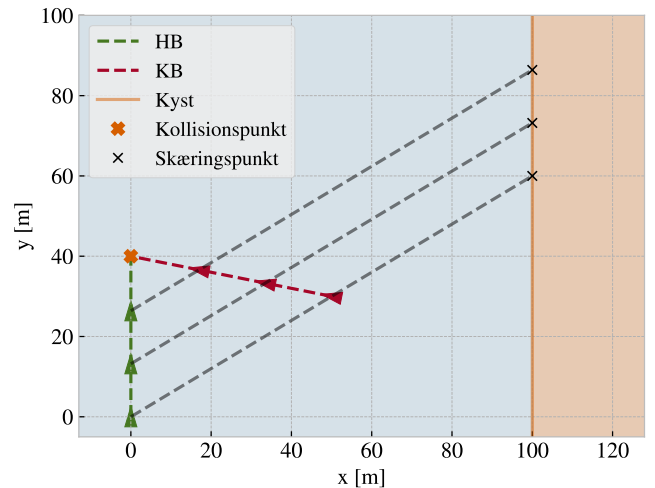


Figure 2. En simulering af bådene HB og KB på kollisionskurs, med kollisionspunkt 100 meter fra kysten. Her plottes fire positioner for bådene (inklusive kollisionspunktet) jævnt fordelt i tid. Fra de grå stiplede linjer ser vi hvordan sigtelinjen fra HB gennem KB skærer med kysten. Dette skæringspunkt forflytter sig som forventet i henhold til HB's bevægelse.

Hvis sigtelinjens skæring med kystlinjen forflytter sig kendelig, på trods af at bådene er på kollisionskurs (pejlingen er konstant), vil baggrundsmetoden være vildle-

dene. Vi undersøger derfor hvordan afstanden til kysten spiller en rolle for hvorvidt forflytningen er kendelig.

Fra HB's perspektiv vil baggrundspunktet (BP) bevæge sig med en hastighed $\vec{v}_{BP} = -\vec{v}_{HB}$. Dette giver en observeret vinkelhastighed ω_O :

$$\omega_O = -\frac{v_{HB} \sin(\theta_{HB})}{d}$$

hvor $v_{HB} = |\vec{v}_{HB}|$ er bådens fart, θ_{HB} er pejlingen og d er afstanden til kysten via sigtelinjen. Hvis vi definerer minimumsgrænsen for en kendelig forflytning som vinkelhastigheden ω_k får vi at kriteriet for anvendelse af baggrundsmetoden er

$$\begin{aligned} |\omega_O| &< \omega_k \\ \frac{v_{HB} \sin(\theta_{HB})}{d} &< \omega_k \\ \frac{v_{HB} \sin(\theta_{HB})}{\omega_k} &< d \end{aligned} \quad (3)$$

Vi kan da bruge denne sammenhæng til at finde den minimale afstand d for brug af baggrundsmetoden som funktion af θ_{HB} . Dette resultat er vist på figur 3.

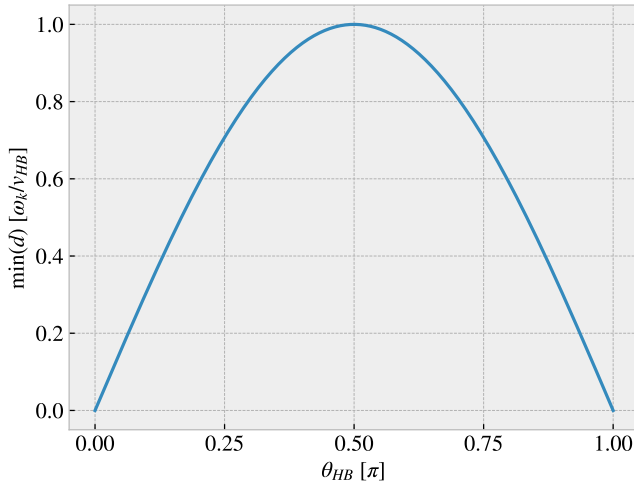


Figure 3. Den minimale afstand $\min(d)$ som funktion af pejlingen θ_{HB} som muliggør brug af baggrundsmetoden. d beskriver afstanden til kysten via sigtelinjen. Resultatet er angivet med dimensionløse enheder med skaleringsfaktorene ω_k som er den minimumme vinkelhastighed for en kendelig forflytning og v_{HB} som er farten til HB. For at baggrundsmetoden skal være anvendelig, må vi kræve at d ligger over kurven for $\min(d)$.

1. Definering af kendelig forflytning

For at bestemme enhederne til figur 3, må vi definere hvad en kendelig forflytning er. Hertil bruger vi en række kvalificerede gæt for at finde et estimat for ω_k . Bemærk at følgende resultater derfor bygger på en del usikkerheder.

Vi kan forestille os at vi ved observation af KB vil benytte et centralt punkt på båden som referanse mod baggrunden. En mulig definition på en kendelig forflytning kan da være at baggrundspunktet har flyttet sig ud til eller forbi kanten af båden i løbet af en observationsperiode. Observationsperioden estimeres til 10 sekunder, svarende til den nedre grænse af tidsintervallet 10-20 sekunder som nævnes i [3]. Vi siger da at forflytningen er kendelig hvis baggrundspunktet har flyttet sig en relativ afstand større eller lig halvdelen af bådens tværlængde set fra iagttageren i løbet af de 10 sekunder. For sejlbåde i den lidt større klasse kan vi bruge en gennemsnitlig bredde på 5 m og længde på 15 m, hvilket giver 10 m som middelestimat (tilsvarende 45 graders sigtelinje). Til sidst må vi vurdere den afstand der er mellem to skibe når kollisionsrisikoen vurderes. Hertil bruges 200 meter som en minimumsværdi. Ud fra dette finder vi at en kendelig forflytning kan defineres ved en vinkelhastighed større eller lig ω_k :

$$\omega_k = \frac{\arctan\left(\frac{1}{2} \frac{10\text{m}}{200\text{m}}\right)}{10\text{s}} = 0.0025\text{s}^{-1} \approx 0.14^\circ\text{s}^{-1} \quad (4)$$

Bemærk at disse antagelser udelukkende gøres for at estimere menneskets evne til at kende en forflytning i praksis. Hvis værdien for menneskets evne til at kende en forflytning hentes fra faktiske studier vil det være at foretrække. Ved valg af den nedre grænse for observationsperioden, et stort estimat for bådens tværlængde og et minimumsestimat for afstanden mellem bådene ved observation, estimerer vi effektivt den øvre grænse for en kendelig forflytning. Dette vil føre til at estimatet for den gyldige afstand d bliver et minimumsestimat og dermed giver de bedste vilkår for baggrundsmetodens gyldighed.

Vi kan nu bruge at en typisk bådshastighed er 4 knob hvilket tilsvarende omtrent 2 m/s. Med disse værdier kan vi skalere resultatet fra figur 3 sådan at vi får enhederne vist på figur 4.

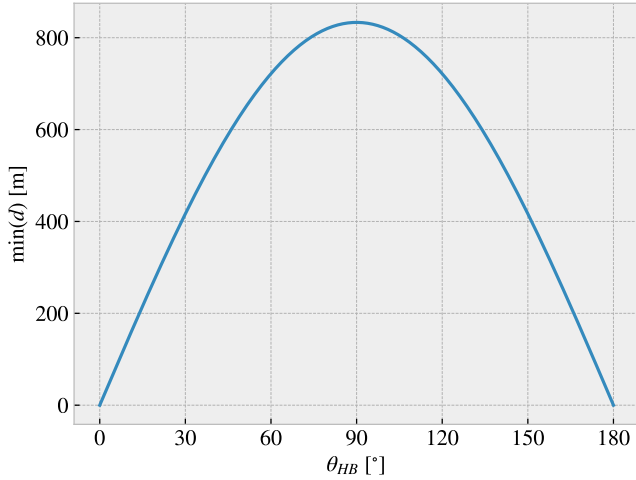


Figure 4. Den minimale afstand $\min(d)$ som funktion af pejlingen θ_{HB} som muliggør brug af baggrundsmetoden. d beskriver afstanden til kysten via sigtelinjen i meter. Enhederne er fastlagt ud fra figur 4 med brug af estimater for ω_k og v_{HB} .

I en situation hvor den retlinjede kyst har en vinkel β i forhold til HB's kurs kan vi omregne afstanden d langs sigtelinjen til den korteste afstand s_{kyst} mellem HB og kysten (linjen vinkelret på kysten). Omregning gøres som

$$s = d \cdot \sin(\theta_{HB} + \beta) \quad (5)$$

Ved at anvende denne omregning får vi resultatet vist på figur 5.

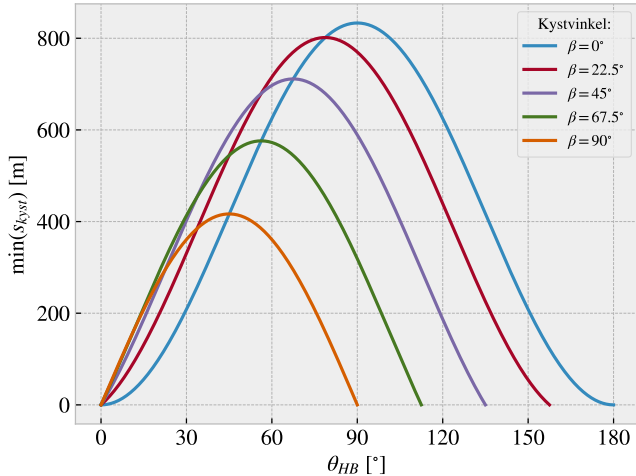


Figure 5. Den minimale afstand $\min(s_{kyst})$ som funktion af pejlingen θ_{HB} som muliggør brug af baggrundsmetoden. s_{kyst} (se ligning 5) er den korteste afstand for HB til kysten, når kysten har en vinkel β i forhold til HB's kurs.

Da det er upraktisk at skulle vurdere vinklen til kysten kan vi forsimple dette resultat lidt. Vi ser på 5 at når β øger fra 0 til 90° så forskydes den grundlæggende

kurve for $\beta = 0$ samtidig som at den formindskes. Vi er nu interesseret i at finde en kurve som indeholder alle disse forskydninger fra variation af β , således at vi har en effektiv maksimumskurve for $\min(s_{kyst})$. Dette tilsvare at vi tager den maksimale værdi for $\min(s_{kyst})$ i hvert punkt ved at vælge den kystvinkel β som giver den største værdi. Vi husker at

$$s_{kyst} \propto \sin(\theta_{HB} + \beta)$$

og derved ser vi at vi opnår maksimalværdi ved at vælge $\beta = \frac{\pi}{2} - \theta_{HB}$. Da finder vi at den maksimale værdi som funktion af θ_{HB} er

$$\max(s_{kyst})(\theta_{HB}) = d \quad (6)$$

Bruger vi denne approksimation får vi et anvendelig plot for aflæsning af den gyldige zone for baggrundsmetoden uafhængig af kystvinklen. Dette er vist på figur 6.

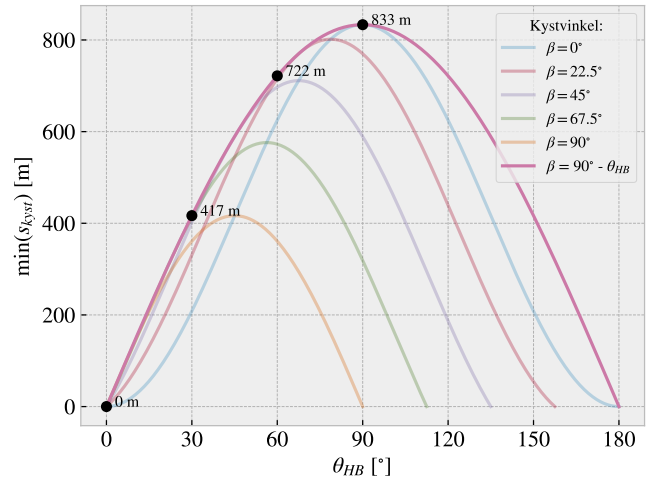


Figure 6. Den minimumme afstand $\min(s_{kyst})$ som funktion af pejlingen θ_{HB} som muliggør brug af baggrundsmetoden (se figur 5). Den lyserøde kurve for $\beta = 90^\circ - \theta_{HB}$, tilsvare det valg af β for hvert punkt som giver den største værdi. Dermed har vi et maksimumsestimat på $\min(s_{kyst})$ som kan aflæses uafhængig af kystvinkel β

D. Numeriske simuleringer

Ved brug af koden vist i afsnit IIB har vi simuleret forskellige situationer for at understøtte de matematiske resultater. I appendix VI findes en række plots over forskellige situationer med og uden kollisionskurs. I tillæg findes en række animationer på github'en [1], som giver et mere intuitiv indblik i bevægelserne og hvordan pejling og baggrundspunkt ændres. Vi ser generelt at simuleringerne er i overensstemmelse med de matematiske resultater.

IV. DISKUSSION

Ud fra den matematiske slutning om pejlingen i teorem 1 er det klart at pejlingen kan bruges som en direkte indikator på kollisionskurs. Hvis KB nærmer sig og pejlingen ikke ændres er dette ensbetydende med at bådene vil kolliderer, hvis ikke kurs eller retning ændres. Altså vil lokalpunktsmetoden være troværdig i alle situationer og derfor også være den bedst egnede metode.

Som antydnet på Duelighed.dk [3] fandt vi også at baggrundsmetoden kan bruges som en indikator på om der er pejltræk eller ikke givet visse betingelser. I tilfælde med konstant pejling, vil baggrunden flytte sig tilsvarende HB's relative bevægelse til baggrunden. Siden denne bevægelse bliver mindre og mindre tydelig desto længere væk fra den observerede baggrund man befinder sig, kan baggrundsmetoden effektivt anvendes ved større afstande til kysten. Dette er i overensstemmelse med påstanden fra Duelighed.dk [3]. Med kendskab til den minimale vinkelhastighed ω_k for en kendelig forflytning samt HB's hastighed, vil man kunne kortlægge det gyldige område for baggrundsmetoden via resultaterne fra figur 3. Med kvalificerede gæt på disse størrelser kom vi frem til resultatet i figur 4 som giver et estimat på dette gyldige område. Bemærk dog at disse estimer er ganske usikre og derfor kun bør tolkes som et estimat på størrelsesorden af området.

På figur 5 får vi relevant information om hvad afstanden d tilsvare i den direkte afstand til kysten s_{kyst} som er mere anvendelig i praksis. Siden dette involverer, at man som søfarer må vurdere vinklen til kysten i tillæg, bør vi hellere bruge det endelige resultat på figur 6. Her har vi den maksimale minimumsafstand nødvendig ved et vilkårlig valg af kystvinkel β . Ved aflæsning af denne figur finder vi blandt andet punkterne vist i tabel IV.

Table I.

θ_{HB} [°]	s_{kyst} [m]
0	0
30	417
60	722
90	833

Aflæsningen af denne tabel giver et hurtigt overblik af det gyldige område for baggrundsmetoden. Her ser vi at baggrundsmetoden kan bruges tættere på kysten når KB kommer forfra eller bagfra i en spids vinkel, mens en 90 ° pejling vil være det mest afstanskrævende sted at anvende metoden.

Som en sidste note nævner vi muligheden for at baggrundsmetoden kan anvendes hos en erfaren søfarer. Hvis søfaren har erfaring med hvordan baggrunden forflytter sig i forhold til en fast pejlingsvinkel, ved bestemte hastigheder og afstande, kan søfaren vurdere om baggrunden bag en modsejlende båd ændres mere eller mindre end dette. Altså er det muligt at søfaren

da selv kan korrigere for den forflytning som skyldes søfarens egen bevægelse i forhold til baggrunden. Dog kræver det et godt kendskab til forskellige kollisionsituationer, og det er usandsynligt at en sådan søfarer da i det hele taget vil have brug for en sådan metode. Uanset vil lokalpunktsmetoden være et mere oplagt valg, dersom man er i tvivl om en eventuel kollisionskurs.

V. KONKLUSION

Fra den matematiske udledning kan vi konkludere at pejlingen kan bruges som en direkte indikator på kollisionskurs. Når to både nærmer sig hinanden, med konstant hastighed, vil pejlingen mellem skibende være konstant hvis disse er på kollisionskurs.

Vi fandt dog at baggrundsmetoden kan bruges som en indirekte metode til at bestemme om bådene er på kollisionskurs, hvis iagttageren befinder sig tilstrækkelig langt væk fra baggrunden. Når bådene er på kollisionskurs, hvilket medfører konstant pejling, vil baggrunden bag kollisionsbåden forflytte sig med samme hastighed som iagttagerens relative hastighed til baggrunden. Ved læn-

gere afstande til kysten er denne forflytning ikke kendelig, og derved vil baggrunden opleves at være i ro. Resultatet fra figur 3 giver den mest generelle angivelse af det gyldige område for brug af baggrundsmetoden. Ikke desto mindre fandt vi ved brug af en række estimater, at afstanden til kysten som kræves for at anvende baggrundsmetoden kan estimeres til sammenhængen vist på figur 6. Den største afstand som kræves er her approksimeret til 833 m ved en pejling på 90° , mens det ved en pejlingen på 30° eller 150° er 417 m. Det er dog vigtigt at understrege at disse estimater som formidler det generelle resultat fra figur 3 er baseret på usikre antagelser. Dette bør derfor kun tolkes som et estimat på størrelsesordenen for denne grænse.

-
- [1] Metzsch-Jensen M. (2020), *Boat myth - GitHub repository*, Available at: https://github.com/mikkelme/boat_myth
 - [2] Repspekt for vand <https://www.respektforvand.dk/paa-havet/laer-at-sejle/vigeregler> (sidst læst: 16/01/2021)
 - [3] Duelighed.dk. Date. Edition. Skipper-kursus (slide 03-02), tilgængelig ved http://www.duelighed.dk/tutorial_soevejsregler/03_02.htm (sidst læst: 05/01/2021)
 - [4] Hjemmeværnet: Maritime udtryk, tilgængelig ved <https://www.hjv.dk/oe/HVF122/Sider/Maritime-udtryk.aspx> (sidst læst: 05/01/2021)
 - [5] Søren Toftegaard O. (2013), *LystSejlads*, s. 19 (afsnit 1.4), tilgængelig ved <http://studienoter.dk/Sejlads/Noter/LystSejlads.pdf> (sidst læst: 05/01/2021)
 - [6] retsinformation.dk: *Bekendtgørelse om søvejsregler* 20/11/2009. Regel 7: fare for sammenstød (d) (20/11/2009), tilgængelig ved <https://www.retsinformation.dk/eli/lta/2009/1083> (sidst læst: 05/01/2021)
 - [7] Albrechten S. (2007). *Sejlads for Begyndere* <http://www.groensund.dk/upl/website/sejlads/SejladsforBegyndere2.pdf>

VI. APPENDIX

A. Simmuleringer med kollisjon

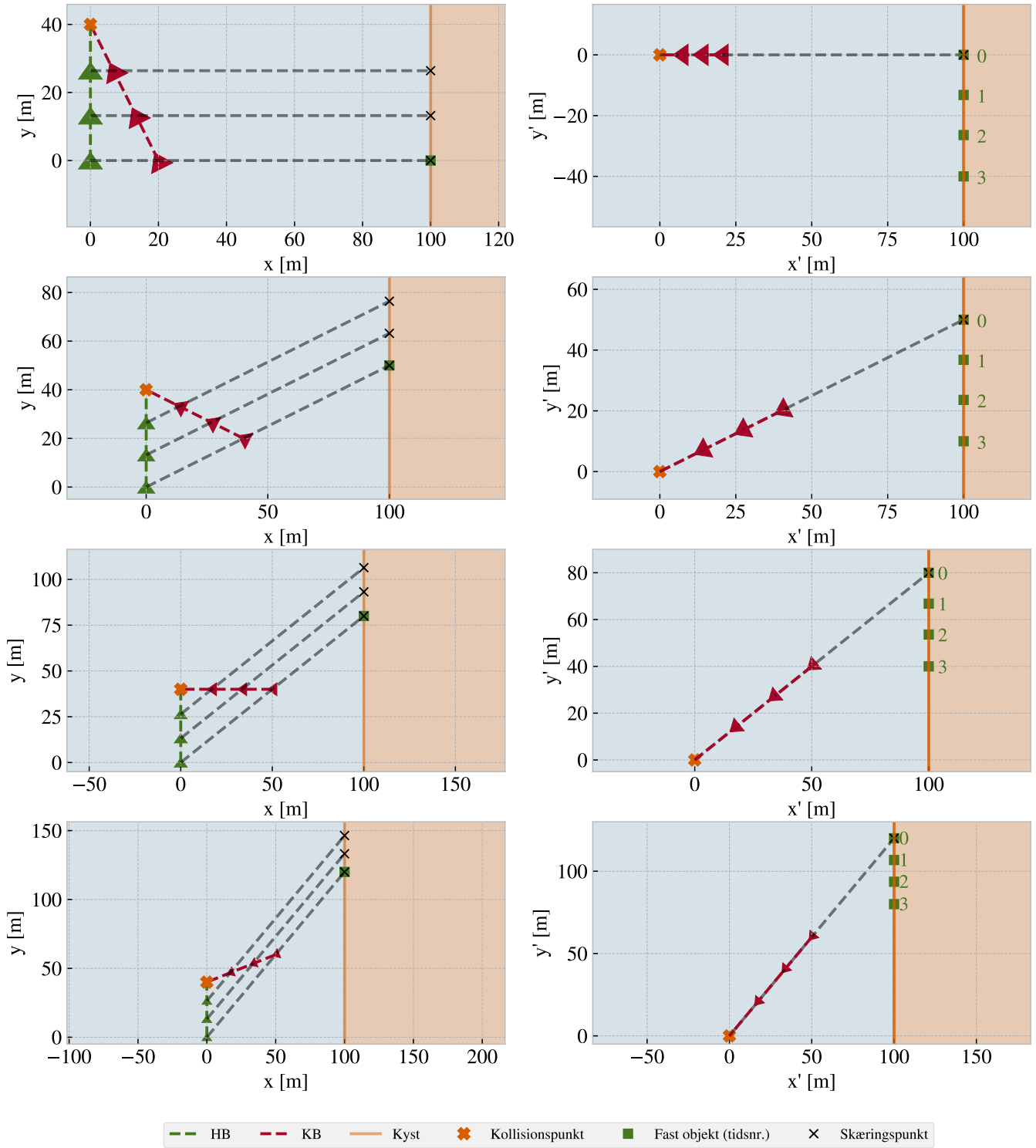


Figure 7.

Figurrække	HB_{start}	KB_{start}	HB_{slut}	KB_{slut}
1	(0,0)	(20,0)	(0, 40)	(0, 40)
2	(0,0)	(40,30)	(0, 40)	(0, 40)
3	(0,0)	(50,40)	(0, 40)	(0, 40)
4	(0,0)	(50,60)	(0, 40)	(0, 40)

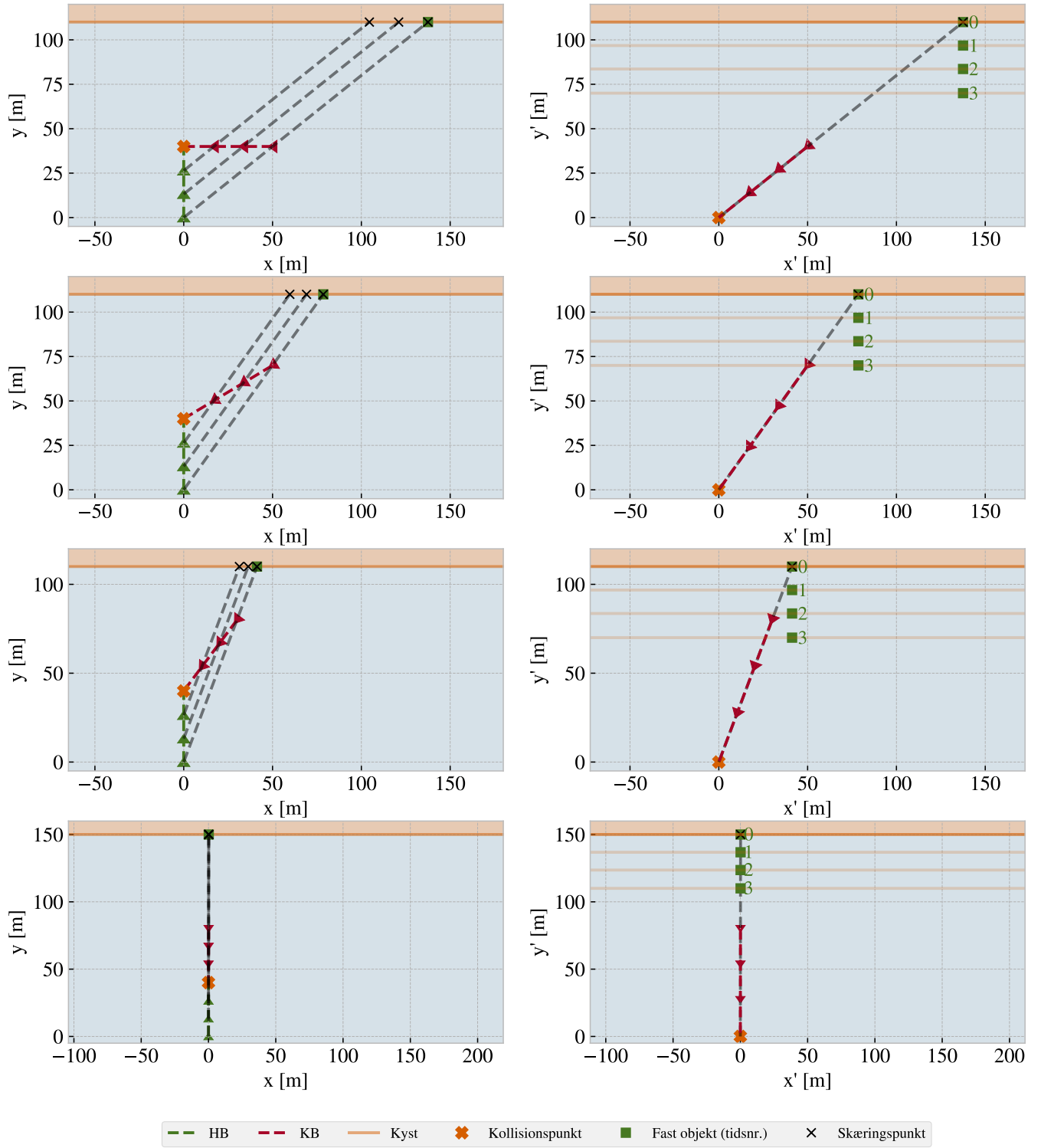


Figure 8.

Figurrække	HB_{start}	KB_{start}	HB_{slut}	KB_{slut}
1	(0,0)	(50,40)	(0, 40)	(0, 40)
2	(0,0)	(50,70)	(0, 40)	(0, 40)
3	(0,0)	(30,80)	(0, 40)	(0, 40)
4	(0,0)	(0.1,80)	(0, 40)	(0, 40)

B. Simmuleringer uden kollision

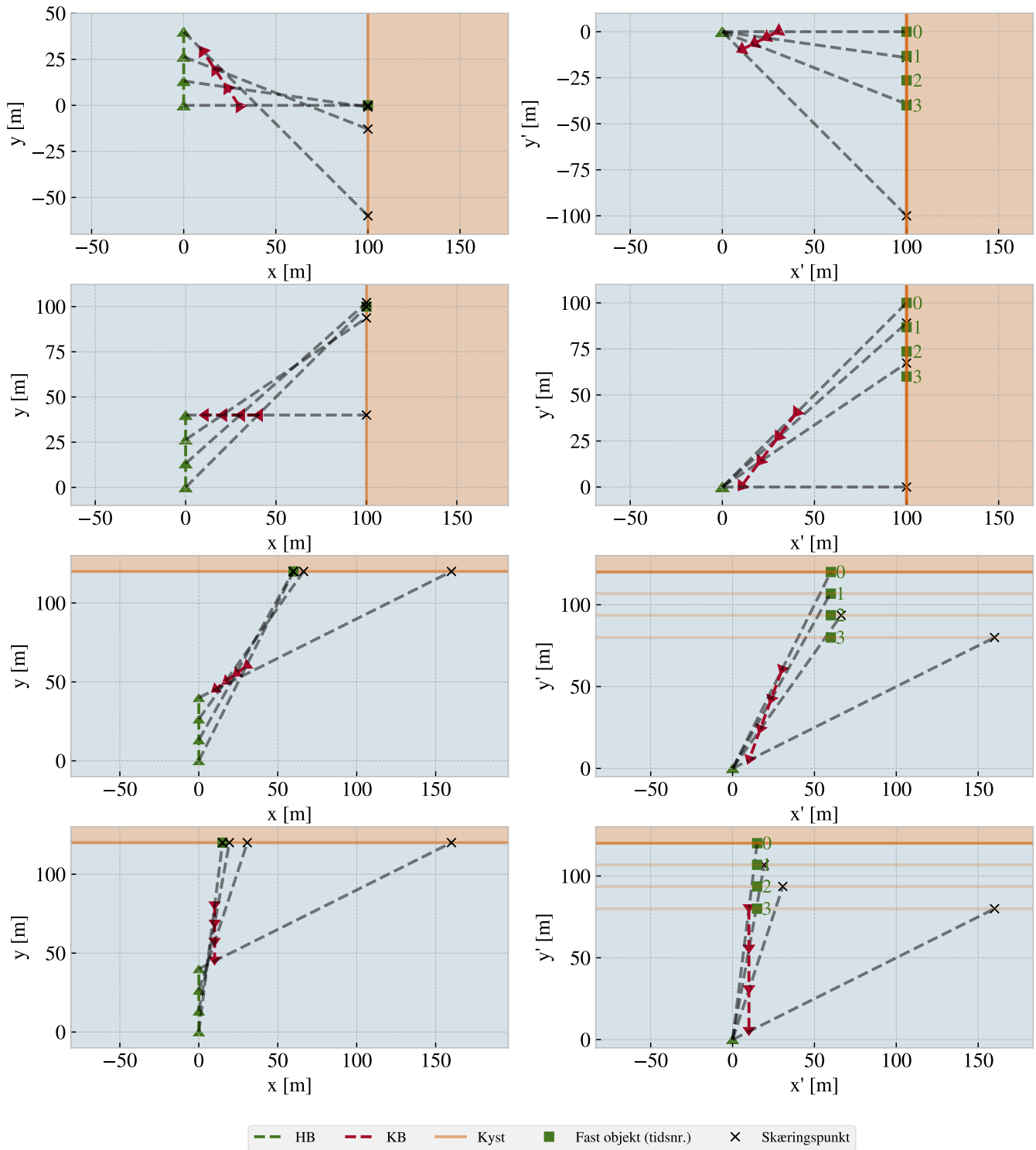


Figure 9.

Figurrække	HB_{start}	KB_{start}	HB_{slut}	KB_{slut}
1	(0,0)	(30,0)	(0, 40)	(10, 30)
2	(0,0)	(40,40)	(0, 40)	(10, 40)
3	(0,0)	(30,60)	(0, 40)	(10, 44)
4	(0,0)	(10,80)	(0, 40)	(10, 44)